

01;07

## Рождение, уничтожение и эволюция непараксиальных оптических вихрей. Сингулярные пучки высших порядков

© А.В. Воляр, Т.А. Фадеева

Таврийский национальный университет им. В.И. Вернадского,  
Симферополь, Украина

Поступило в Редакцию 27 марта 2001 г.

В окончательной редакции 26 июня 2001 г.

Рассмотрены точные решения скалярного волнового уравнения Гельмгольца, описывающие непараксиальные модовые пучки высших порядков. Для того чтобы эти решения согласовывались с решениями параболического волнового уравнения, сформулированы смягченные приближенные граничные условия. В соответствии с ними параксиальные и непараксиальные волновые функции превращаются друг в друга в параксиальном пределе  $kz_0 \gg 1$  вдали от фокальной каустики:  $z \gg z_0$  или же вблизи нее. Изучено поведение модовых пучков с различными азимутальным и радиальным индексами мод.

На возможность параксиального перехода между волновыми функциями параксиальных и непараксиальных модовых пучков высших порядков указывали еще в 70-х и 80-х годах авторы работ [1–5]. Однако более подробный анализ показал, что эта проблема не имеет очевидных решений. Так, в работе [6] отмечено, что не существует относительно простых способов получения указанного соответствия. Тем не менее недавно мы уже показали [7], что параксиальный переход будет выполняться, если несколько переформулировать приближенные граничные условия, потребовав согласования непараксиальных пучков с собственными модами оптического волокна только в окрестности плоскости перетяжки (если предположить, что там расположен входной торец световода). Такое согласование полей мод свободного пространства и волокна указывает на возможность использования несколько смягченной формулировки приближенных граничных условий в смысле Дэвиса [8]. С другой стороны, параксиальные модовые пучки невозможно представить через единичные волновые поля, удовлетворяющие волновому уравнению Гельмгольца, а их комбинация также не позволяет

получить парааксиального соответствия на всей оптической оси из-за различия топологических фаз [9].

Целью данной работы явилось изучение свойств непарааксиальных световых пучков высших порядков и условий, при которых они способны преобразовываться в свои парааксиальные аналоги.

Рассмотрим решение скалярного волнового уравнения Гельмгольца

$$(\nabla^2 + k^2)\Psi = 0 \quad (1)$$

в виде [1,2]:

$$\Psi_m^{(l)} = A_m^{(l)} P_m^{(l)}(\cos \theta) j_m(kR) \begin{pmatrix} \cos l\varphi \\ \sin l\varphi \end{pmatrix}, \quad (2)$$

где  $P_m^{(l)}(\cos \theta)$  — присоединенные полиномы Лежандра,  $j_m(kR)$  — сферические функции Бесселя первого рода  $m$ -го порядка,  $R = \sqrt{x^2 + y^2 + (z + iz_0)^2}$  — комплексный радиус,  $\cos \theta = \frac{(z + iz_0)}{R}$ ,  $A_m^{(l)}$  — нормировочный множитель,  $k$  — волновое число,  $\varphi$  — азимутальный угол. Потребуем, чтобы суперпозиция волновых функций (2) непарааксиального сингулярного пучка в парааксиальном приближении  $kz_0 \gg 1$  превращалась в волновую функцию парааксиального пучка:

$$\tilde{\Psi}_p^{(q)} = \mathcal{R}^l L_p^{(q)}(2|\mathcal{R}|^2) \frac{1}{\xi} \exp(-\mathcal{R}^2) \begin{pmatrix} \cos q\varphi \\ \sin q\varphi \end{pmatrix}, \quad (3)$$

где  $\mathcal{R}^2 = \frac{r^2}{\rho^2 \xi}$ ,  $\xi = 1 - i \frac{z}{z_0}$ ,  $r^2 = x^2 + y^2$ , а обобщенные полиномы Лагерра имеют вид:

$$L_p^{(q)}(2|\mathcal{R}|^2) = p! \sum_{s=0}^p (-1)^s \binom{p+q}{p-s} \frac{1}{s!} 2|\mathcal{R}|^{2s}. \quad (4)$$

Зададим присоединенные полиномы Лежандра в волновой функции (2) как:

$$P_m^l(\mu) = \frac{(2m)}{2^m m! (m-l)} (1 - \mu^2)^{\frac{1}{2}l} \left\{ \mu^{m-l} - \frac{(m-l)(m-l-1)}{2(2m-1)} \mu^{m-l-2} + \frac{(m-l)(m-l-1)(m-l-2)(m-l-3)}{2 \cdot 4(2m-1)(2m-3)} \mu^{m-l-4} - \dots \right\}, \quad (5)$$

где  $\mu = \cos \theta = \frac{(z + iz_0)}{R}$ . Из полученного выражения следует, что не из всех частных решений (2) уравнения (1) можно построить требуемую

волновую функцию (3). Дело в том, что присоединенные полиномы Лежандра (5) выражаются через аргумент  $(\cos \theta)^{m-l-2N}$ . Но в аргументе полиномов Лагерра (4) входит переменная  $(\frac{r}{w})^2 \propto (\frac{r}{R})^2 = \sin^2 \theta$ . Следовательно, для построения волновой функции комбинированного пучка необходимо использовать такие индексы  $l$  и  $m$ , которые позволяют выражать полиномы Лежандра (5) через  $\sin \theta$ . Для этого необходимо, чтобы выполнялось условие отбора для волновых функций:  $2p + l = m$  и  $l = q$ . Этот вывод существенно ограничивает спектр непараксиальных пучков, соответствующих выбранным граничным условиям. Последнее соотношение  $l = q$  есть не что иное, как закон сохранения топологического заряда сингулярного пучка при его острой фокусировке.

Представим комплексный радиус  $R$  пучка в виде ряда по степеням величины  $\frac{r^2}{(z+iz_0)^2}$ :

$$R = \sqrt{r^2 + (z + iz_0)^2} \approx z + iz_0 + (1/2)r^2/(z + iz_0). \quad (6)$$

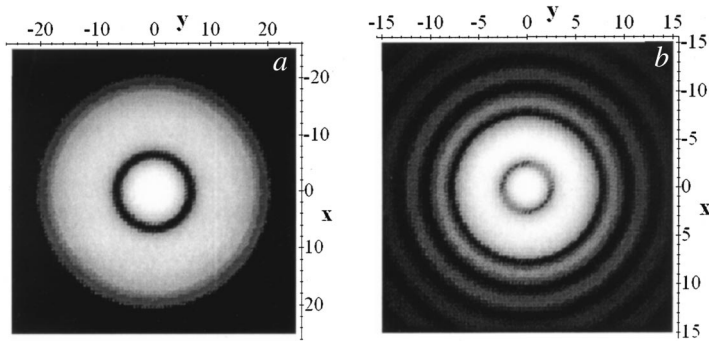
При подстановке  $R$  в бесселевы функции, как правило [7], в аргументе тригонометрических функций оставляют два члена ряда Тейлора в комплексном радиусе  $R$  в (6), в то время как при подстановке в знаменатель ограничиваются только его первым членом  $R \approx z + iz_0$ . Тогда в параксиальной асимптотике имеем

$$A_j m(kR) \approx i^m \tilde{\Psi}_0^{(0)}(r, z, z_0), \quad A = \frac{kz_0}{\text{sh}(kz_0)} \quad (7)$$

для всей оптической оси. Следует заметить, что эти соотношения хорошо выполняются даже для относительно малых радиусов перетяжки пучка  $kz_0 \geq 10$  или  $z_0 \geq 1 \mu\text{m}$ .

Полученные выражения позволяют непосредственно сравнивать суперпозицию присоединенных полиномов Лежандра с обобщенными полиномами Лагерра.

Для "несимметричных" волновых функций необходимо, чтобы аргументы полиномов Лежандра были действительными величинами. Это условие выполняется с достаточно большой точностью: 1) для малой области оптической оси вблизи плоскости перетяжки  $z = 0$ , где  $z + iz_0 \approx i(\frac{k\rho}{2})w = i(\frac{k\rho}{2})\rho\sqrt{1 + \frac{z^2}{z_0^2}}$ , и 2) для значительной части оптической оси  $z \gg z_0$ , где  $z + iz_0 \approx \pm aw = \frac{z}{|z|}aw$ ,  $a = \sqrt{\frac{kz_0}{2}}$ . Приведенные



**Рис. 1.** Распределение интенсивности ( $a, b$ ), модуля амплитуды ( $c, d, e$ ) и фазы ( $f$ ) в непараксиальном модовом пучке (кривая 1) и аналогичном параксиальном пучке (кривая 2) Лагерра–Гаусса с индексами  $m = 1, l = 0$  ( $d, e$ ) и  $m = 2, l = 0$ :  $a, c — kz_0 = 3, kz = 0$ ;  $b, e, f — kz_0 = 10, kz = 10$ ;  $d — kz_0 = 10, kz = 0$ . Амплитуда волновой функции измеряется в относительных единицах, пространственные координаты на всех рисунках заданы в единицах волнового числа  $k = \frac{2\pi}{\lambda}$ . Расчеты для фигур, представленных на рис. 1 и 2, проводились в соответствии с выражениями (2), (3), (7, а) с привлечением соответствующих значений коэффициентов  $C_m^{(l')}$  из примеров 1, 2 и 3.

приближения для комплексного радиуса можно рассматривать как два типа смягченных граничных условий.

Теперь запишем волновую функцию непараксиального пучка в виде

$$\Psi_{2p+q}^{(q)} = \sum_{l'=0}^q \sum_{m=0}^{2p+q} C_m^{(l')} P_m^{(l')}(\cos \theta) j_m(kR) \begin{cases} \cos l' \varphi \\ \sin l' \varphi \end{cases} \quad (7a)$$

и потребуем, чтобы выполнялось приближенное тождество:

$$\tilde{\Psi}_p^q(x, y, z, z_0) \cong \Psi_{2p+l}^l(x, y, z, z_0) \Big|_{kz_0 \gg 1}. \quad (8)$$

Рассмотрим несколько практически важных случаев.

1) Пусть  $l = 0, p$  — четное число. Используем приближенное тождество (8), выражение (7) и остановимся на граничных условиях первого рода, рассматривая согласование полей в плоскости перетяжки.

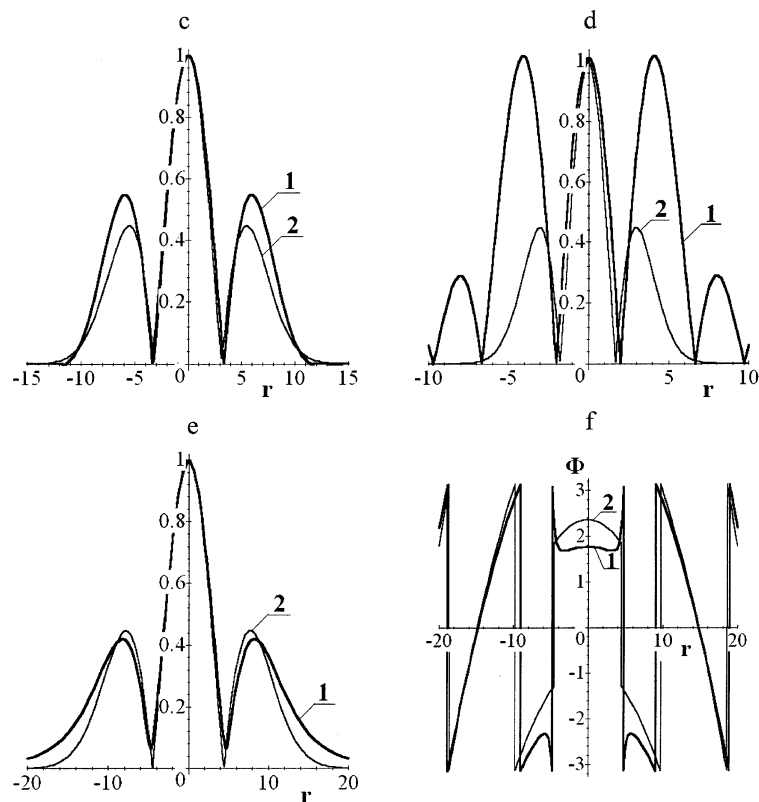
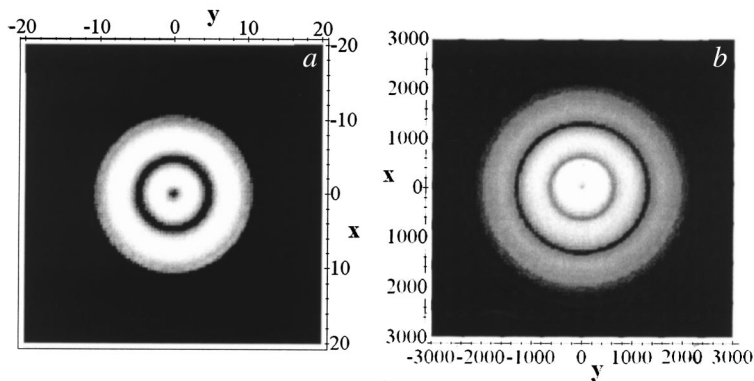


Рис. 1 (продолжение).

Например, пусть  $p = 1$ . Тогда  $L_1^{(0)} = 1 - 2\frac{r^2}{w^2}$ ,  $P_0^{(0)} = 1$ ,  $P_2^{(0)} = -\frac{1}{2}(2 - 3\frac{r^2}{R^2})$ . Из тождества (9) находим значения коэффициентов:  $C_0 = 1 - C_2$ ,  $C_2 = \frac{2}{3}kz_0$ .

На рис. 1 приведены картины распределения интенсивности, модуля амплитуды и фазы поля волновой функции данного непараксиального пучка. Обращает на себя внимание тот факт, что при сравнительно малых значениях длины Рэлея  $kz_0 < 5$  высота второго максимума оказывается сравнимой с главным максимумом. Кроме того, координаты главного нуля в непараксиальном и параксиальном пучках не совпадают.



**Рис. 2.** Распределение интенсивности ( $a, b$ ), модуля амплитуды ( $c, d, e$ ) и фазы ( $f$ ) в непараксиальных (кривая 1) и параксиальных (кривая 2) сингулярных модовых пучках, переносящих оптические вихри:  $a, c, e - m = 1, l = 1$ ;  $b, d, f - m = 2, l = 1$ . А именно:  $a - kz_0 = 10, kz = 0$ ;  $b - kz_0 = 30, kz = 3000$ ;  $c - kz_0 = 10, kz = 50$ ;  $d - kz_0 = 30, kz = 300$ ;  $e - kz_0 = 10, kz = 550$ ;  $f - kz_0 = 30, kz = 3000$ .

По мере возрастания длины Рэлея ( $kz_0 < 5$ ) распределение интенсивности и фазы в непараксиальном пучке начинает довольно хорошо согласовываться с профилем интенсивности и фазы пучка Лагерра–Гаусса.

2) Пусть  $l$  и  $p$  — нечетные числа. Вновь воспользуемся тождеством (8), приближенными граничными условиями второго рода. Например, при  $p = 1, l = 1$  имеем  $L_1^{(1)} = -2(1 - \frac{r^2}{w^2})$ ,  $P_1^{(1)} = \frac{r}{R}$ ,  $P_3^{(1)} = -\frac{3}{2} \frac{r}{R} (4 - 5 \frac{r^2}{R^2})$ . Тогда находим коэффициенты волновой функции в виде:

$$C_1^{(1)} = i2 \frac{z}{|z|} a \left( 1 - \frac{12}{15} a \right), \quad C_3^{(1)} = i \frac{4}{15} \frac{z}{|z|} a^3.$$

Эволюцию контура амплитуды волновой функции иллюстрирует рис. 2.

3) Пусть теперь  $l$  — нечетное,  $p$  — четное, например,  $l = 1, p = 2$ . Решим эту задачу для приближенных граничных условий первого рода, рассматривая согласование пучков вблизи плоскости перетяжки. Тогда

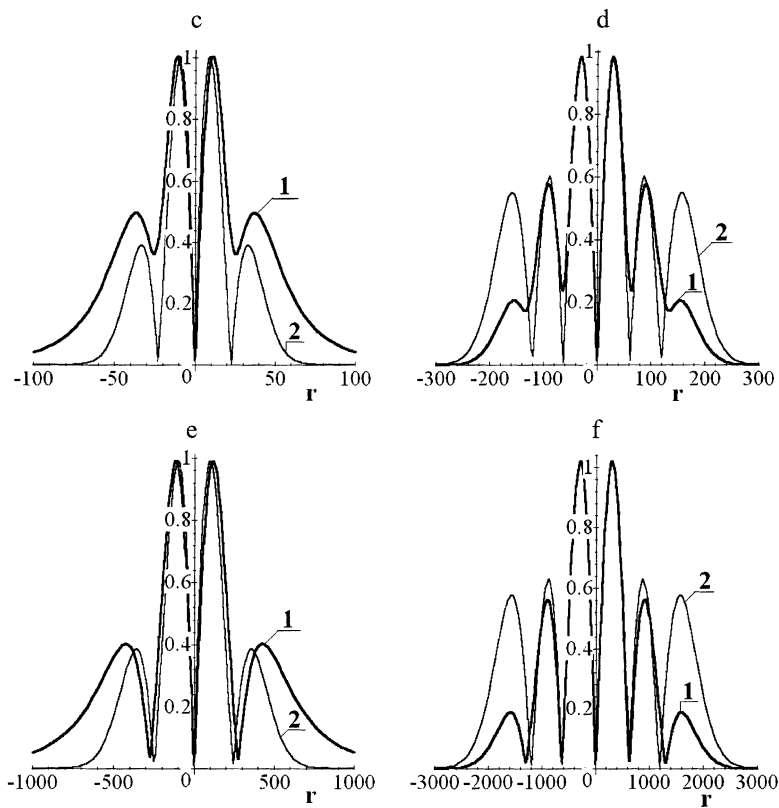


Рис. 2 (продолжение).

имеем

$$L_2^{(1)} = 4 \left(\frac{r}{w}\right)^4 - 12 \left(\frac{r}{w}\right)^2 + 6, \quad P_5^{(1)} = \frac{21}{8} \frac{r}{R} \left\{ 5 - 40 \left(\frac{r}{R}\right)^2 + 15 \left(\frac{r}{R}\right)^4 \right\},$$

$$C_1^{(1)} = -i6 \frac{z}{|z|} a \left( 1 - \frac{5}{2} a^2 + 2a^4 \right),$$

$$C_3^{(1)} = -i2 \frac{z}{|z|} a^3 \left( 1 - \frac{8}{9} a^2 \right), \quad C_5^{(1)} = -\frac{z}{|z|} \frac{32}{315} a^5.$$

Следует учитывать тот факт, что с ростом индексов  $p$  и  $l$  снижается степень согласования результатов, полученных на основе параксиального и непараксиального подходов. Это выражается в том, что кривые 1 и 2 (рис. 2, *c, d, e, f*), соответствующие непараксиальному (кривая 1) и параксиальному (кривая 2) случаям, практически совпадают на сравнительно больших расстояниях от перетяжки (рис. 2, *e*) и для малых значений модовых индексов ( $l = p = 1$ ), в то время как вблизи фокальной плоскости степень рассогласования профилей пучков увеличивается (рис. 2, *c*). Профили модовых пучков с более высокими значениями индексов в окрестности фокальной плоскости очень слабо согласуются. Например, это хорошо видно из рис. 2, *d*, где о частичном согласовании профилей пучков с  $p = 2$  и  $l = 1$  можно судить только по совпадению координата нулей интенсивности. Для того чтобы достигнуть хорошего соответствия между пучками с более высокими значениями модовых индексов, необходимо удалиться от фокальной плоскости на достаточно большое расстояние  $kz \gg kz_0$ , составляющее несколько сотен и тысяч длин волн (рис. 2, *f*). Заметим, что степень согласования между параксиальными и непараксиальными пучками практически перестает зависеть от длины Рэлея, если  $kz_0 > 50$ .

В заключение можно отметить, что вследствие модовой дисперсии состояний световых пучков элементарные пучки, входящие в состав волновой функции, имеют различные фазовые скорости вдоль оси  $z$ , поэтому мы можем получить строгое соответствие между параксиальной и непараксиальной волновой функцией только на небольших отрезках оптической оси. По-видимому, не существует способа, основанного на линейных преобразованиях, позволяющего согласовывать параксиальный и непараксиальный пучок во всем пространстве.

Работа выполнена в рамках проекта P-051 Научно-исследовательской лаборатории BBC США (EOARD).

## Список литературы

- [1] *Felsen L.B.* // J. Opt. Soc. Am. 1976. V. 66. N 8. P. 751–760.
- [2] *Siegman A.E.* // J. Opt. Soc. Am. 1973. V. 63. N 9. P. 1093–1094.
- [3] *Shin S.Y., Felsen L.B.* // J. Opt. Soc. Am. 1977. V. 67. N 5. P. 699–700.
- [4] *Couture M., Belanger P.A.* // Phys. Rev. A. 1981. V. 24. N 1. P. 355–359.
- [5] *Zauderer E.* // J. Opt. Soc. Am. 1986. V. 3. N 4. P. 465–469.

- [6] *Sheppard C., Saghafi S.* // Phys. Rev. A. 1998. V. 57. N 4. P. 2971–2979.
- [7] *Воляр А.В., Шведов В.Г., Фадеева Т.А.* // Опт. и спектр. 2001. Т. 90. № 1. С. 104–112.
- [8] *Davis L.W.* // Phys. Rev. A. 1979. V. 19. N 3. P. 1177–1779.
- [9] *Воляр А.В., Фадеева Т.А., Шведов В.Г.* // Письма в ЖТФ. 1999. Т. 25. В. 5. С. 87–95.